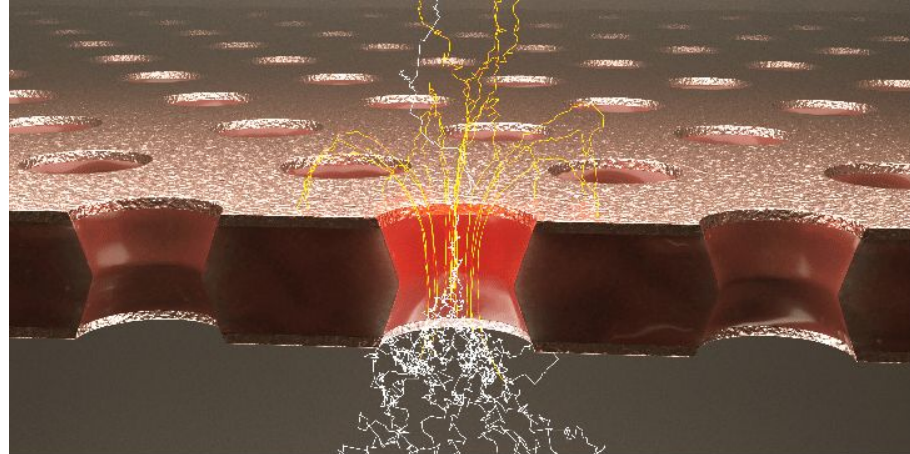


Imagens em hiper-resolução para inspeção de GEMs

Estudante: Caio de Sousa Ribeiro
Orientador: Tiago Fiorini da Silva

Multiplicadores gasosos de elétrons (GEM)

- Folha de poliimida com espessura de $50 \mu\text{m}$ revestida em ambos os lados com uma camada de $5 \mu\text{m}$ de cobre.
- Possui alta densidade de furos bicônicos.
- Alta capacidade de amplificação do sinal eletrônico.

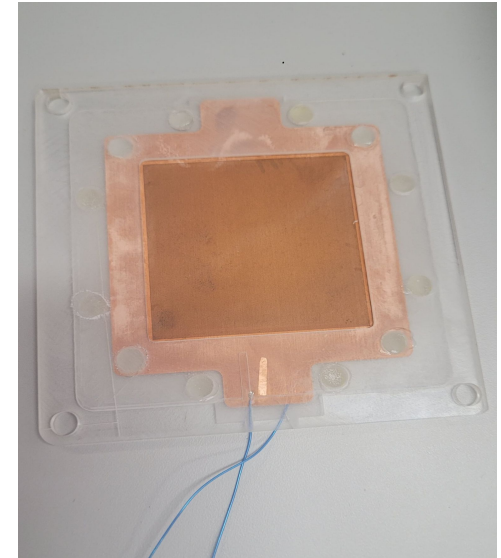


Produção e aprimoramento da tecnologia

- O grupo de pesquisa High-Energy Physics Instrumentation Center (HEPIC) estuda o desenvolvimento desta tecnologia e a aplicação em diversas áreas.
- Em particular, existe um foco na produção dos GEMs a partir de técnicas de ablação a laser e utilizando impressoras 3D.

Objetivos:

- Avaliar a consistência dos GEMs produzidos por meio de medições das características geométricas..
- Comparar diferentes métodos de produção, assegurando qualidade e viabilidade das placas em experimentos de alta precisão.



GEM produzido por ablação a laser, utilizado nos procedimentos do projeto.

Mestrado: Eduardo dos Santos Palermo

Aquisição de materiais



Microscópio USB.

- Posteriormente foi implementado um método de retirar margens de todos os lados da imagem, de uma maneira em que mantivesse a proporção 1:1.

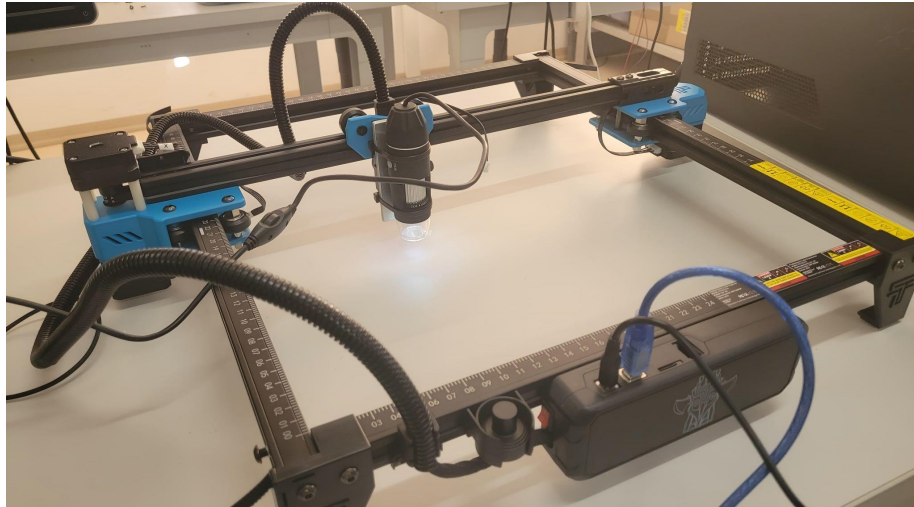
```

1  import cv2
2  import numpy as np
3
4  webcam = cv2.VideoCapture(0)
5
6  if webcam.isOpened():
7      validacao, frame = webcam.read()
8      frames_list = []
9      while validacao:
10         validacao, frame = webcam.read()
11         cv2.imshow("Video da Webcam", frame)
12         key = cv2.waitKey(5)
13         if key == 112: # p minúsculo
14             img_name = "Frame_{}.png"
15             cv2.imwrite(img_name, frame)
16         elif key == 109: # m minúsculo
17             frames_list.append(frame)
18         if key == 27: # Esc
19             break
20
21 # Calcule a média dos frames
22 mean_frame = np.mean(frames_list, axis=0).astype(np.uint8)
23 cv2.imwrite("Mean_Frame.png", mean_frame)
24 webcam.release()
25 cv2.destroyAllWindows()

```

Rotina utilizada para realizar aquisição de imagens utilizando as bibliotecas OpenCV e Numpy.

Aquisição de materiais



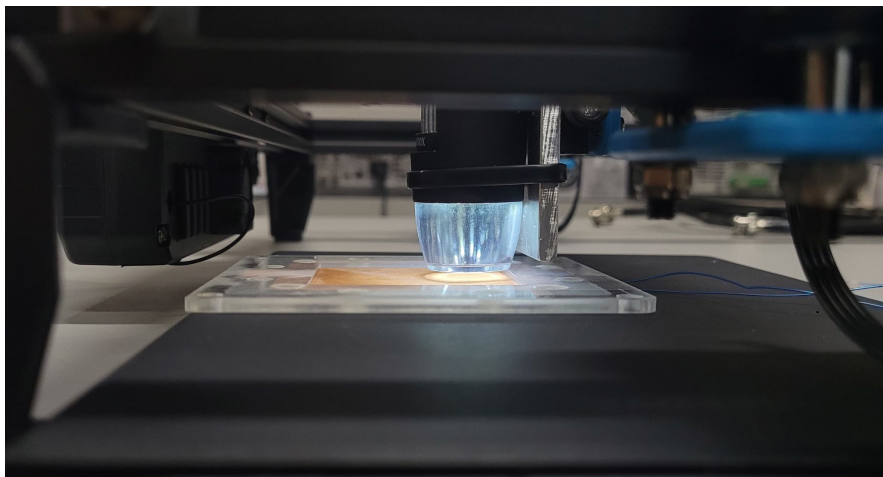
- Aquisição de gravadora a laser.
- Informações transmitidas através de uma conexão serial com o computador.

```
1 import serial as serial
2
3 ser = serial.Serial(
4     port = 'COM5', #Verificar a porta
5     bytesize = 8,
6     parity = 'N',
7     stopbits = 1,
8     baudrate = 115200,
9     timeout = 10,
10    xonxoff = False
11 )
12 ser.reset_output_buffer()
13 ser.reset_input_buffer()
14 val = 0
15
16 command = 'G90 \r\n' # Modo de posicionamento absoluto
17 val = ser.write(command.encode(encoding='ascii', errors='strict'))
18 command = 'G21 \r\n' # Define a unidade de medida como milímetros
19 val = ser.write(command.encode(encoding='ascii', errors='strict'))
20 command = 'G92 X0 Y0 \r\n' # Define a posição atual como origem (0,0)
21 val = ser.write(command.encode(encoding='ascii', errors='strict'))
22
23 command = 'G0 X35 Y17 \r\n' # Move para a posição (35,17)
24 val = ser.write(command.encode(encoding='ascii', errors='strict'))
25
26 ser.close()
```

Biblioteca pySerial e comandos em Gcode.

Configuração do scanner

- Definição de uma classe para a câmera com as funções relacionadas à aquisição de imagens.
- Implementação dos comandos mecânicos.



```

95 camera = Camera()
96 frames_max = 5
97 x = float(input("Informe a dimensão alocada no eixo x (mm): "))
98 y = float(input("Informe a dimensão alocada no eixo y (mm): "))
99 print("Passo foi definido como 2.311 mm")
100 passo = 2.311
101 passo_str = str(passo)
102 y_div_passo = math.ceil(y / passo)
103 x_div_passo = math.ceil(x / passo)
104
105 set_abs_mode(ser)
106 pos_x = 0.00
107 pos_y = 0.00
108
109 for i in range(y_div_passo + 1):
110     for j in range(x_div_passo + 1):
111         if i % 2 == 0: # Movimento da esquerda para a direita na grade
112             pos_x = j * passo
113         else: # Movimento da direita para a esquerda na grade
114             pos_x = (x_div_passo - j) * passo
115         # Mover para a nova posição
116         command = f'G0 X{pos_x} Y{pos_y} \r\n'
117         val = ser.write(command.encode(encoding='ascii', errors='strict'))
118         camera.capture_images(frames_max, round(pos_x, 2), round(pos_y, 2))
119         pos_y += passo # Atualizar a posição Y para a próxima linha
120
121 command = 'G0 X0 Y0 \r\n' # Mover para (0,0)
122 val = ser.write(command.encode(encoding='ascii', errors='strict'))
123
124 camera.release()

```

Obtenção das imagens

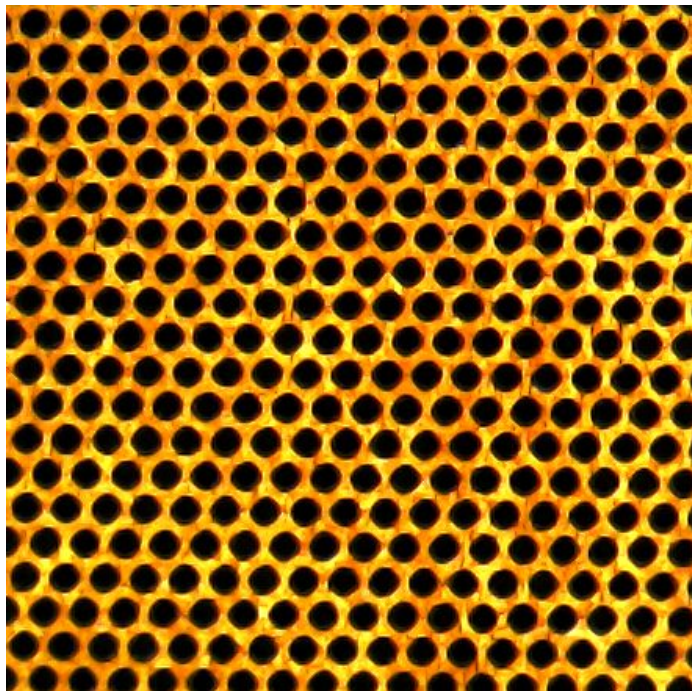
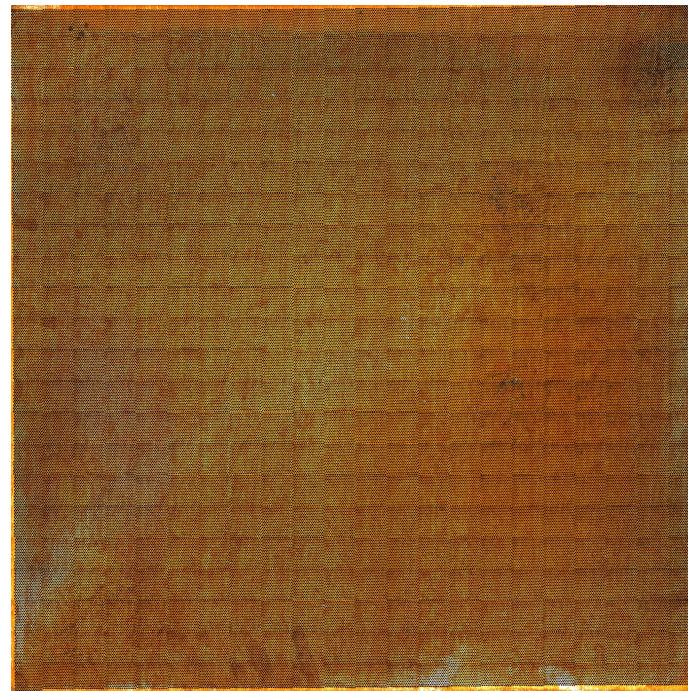


Imagem X_27.73-Y_32.35



Imagens concatenadas

Análise das imagens

- Parte da rotina utilizada para operar o software ImageJ, incluindo procedimentos necessários para diferenciar os furos da superfície metálica.
- Escala definida como 5,25021 $\mu\text{m}/\text{pixel}$, a partir do calibrador do microscópio.

```

for (i = 0; i < list.length; i++) {
  if (endsWith(list[i], ".jpg") || endsWith(list[i], ".png")) {
    open(dir + list[i]); // Abrir a imagem

    // Definir a escala da imagem
    run("Set Scale...", "distance=1 known=" + pixelWidth + " pixel=1 unit=" + unit);

    // Converter a imagem para escala de cinza
    run("8-bit");

    // Aplicar FFT Bandpass Filter
    run("Bandpass Filter...", "filter_large=40 filter_small=3 suppress=None tolerance=5");

    // Definir manualmente os valores de threshold usando o método Li
    setAutoThreshold("Li");
    run("Threshold...");

    // Converter para máscara
    run("Convert to Mask");

    // Limpar tabela de resultados anterior
    run("Clear Results");

    // Analisar partículas, habilitar circularidade, e salvar dados
    run("Analyze Particles...", "size=4500-8000 circularity=0.00-1.00 display exclude clear include summarize");

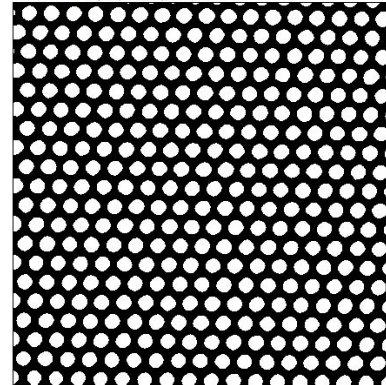
    // Arrays para armazenar os valores de área e circularidade
    areas = newArray(nResults());
    circularidades = newArray(nResults());

    // Coletar os dados de área e circularidade
    for (j = 0; j < nResults(); j++) {
      areas[j] = getResult("Area", j);
      circularidades[j] = getResult("Circ.", j); // Coletar a circularidade corretamente
    }
  }
}

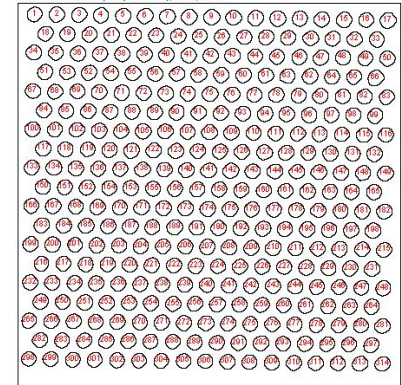
```

	Slice	Count	Total Area	Average Size	%Area	Mean	Circ.
207	X_27.73-Y_25.42.png	316	1903225.373	6022.865	35.664	255.000	0.946
208	X_27.73-Y_27.73.png	314	1898539.390	6046.304	35.576	255.000	0.949
209	X_27.73-Y_30.04.png	314	1942229.279	6185.444	36.395	255.000	0.947
210	X_27.73-Y_32.35.png	314	1987573.057	6329.850	37.245	255.000	0.948
211	X_27.73-Y_34.66.png	312	2046836.947	6560.375	38.355	255.000	0.946

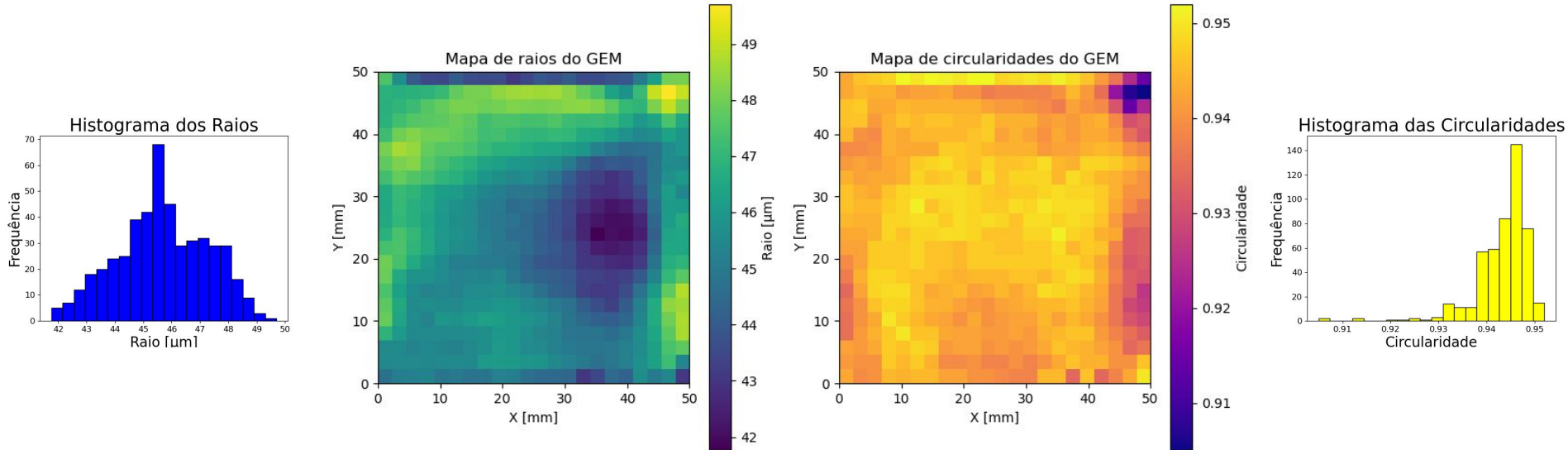
2310.09x2310.09 μm (440x440); 8-bit; 189K



2310.09x2310.09 μm (440x440); 8-bit; 189K



Resultados e Conclusões



$$\text{Raio} = \sqrt{\frac{\text{Área}}{\pi}}$$

Medição	Valor médio
Raio	45,7104(68) μm
Circularidade	0,94377(5)

$$\text{Circularidade} = \frac{4\pi(\text{Área})}{(\text{Perímetro}^2)}$$

Próximos passos

- Analisar GEM do CERN.
- Usar difusor de luz para ver o interior dos furos.

Referências

- [1] M. Kalliokoski, T. Hilden, F. Garcia, J. Heino, R. Lauhakangas, E. Tuominen, R. Turpeinen, “*Optical scanning system for quality control of GEM-foils*”, **Nucl. Instr. and Meth. Sec. A**, 664, 1, 223–230, 2012, <https://doi.org/10.1016/j.nima.2011.10.058>
- [2] T. Hildén, E. Brücken, J. Heino, M. Kalliokoski, A. Karadzhinova, R. Lauhakangas, E. Tuominen, R. Turpeinen, “*Optical quality assurance of GEM foils*”, **Nucl. Instr. and Meth. Sec. A**, 770, 113–122, 2015, <https://doi.org/10.1016/j.nima.2014.10.015>
- [3] Erik Brücken, Jouni Heino, Timo Hildén, Matti Kalliokoski, Vladyslav Litichevskiy, Raimo Turpeinen, Dezső Varga, “*Hole misalignment and gain performance of Gaseous Electron Multipliers*”, **Nucl. Instr. and Meth. Sec. A**, 1002, 2021, 165271, <https://doi.org/10.1016/j.nima.2021.165271>
- [4] Fabio Sauli, “*The gas electron multiplier (GEM): Operating principles and applications*”, **Nucl. Instr. and Meth. Sec. A**, 805, 2–24, 2016,, <https://doi.org/10.1016/j.nima.2015.07.060>.
- [5] Python Software Foundation. Python Language Reference, versão 3.12. Disponível em: <http://www.python.org>
- [6] Schneider, C., Rasband, W. & Eliceiri, K. NIH Image to ImageJ: “25 years of image analysis”. *Nat Methods* 9, 671–675 (2012). <https://doi.org/10.1038/nmeth.2089>

Agradecimentos

À Fundação de Amparo à Pesquisa do Estado São Paulo (FAPESP #2023/15427-1)